

Diagnóstico en imágenes de un caso de hidatidosis

Diagnostic imaging of a case of hydatidosis

Diagnóstico em imagens de um caso de hidatidose

► Germán Osvaldo Astudillo^{1a,b,c}, Amadeo Javier Bava^{2b,c*}

¹ Especialista en Bioquímica Clínica y Parasitología.

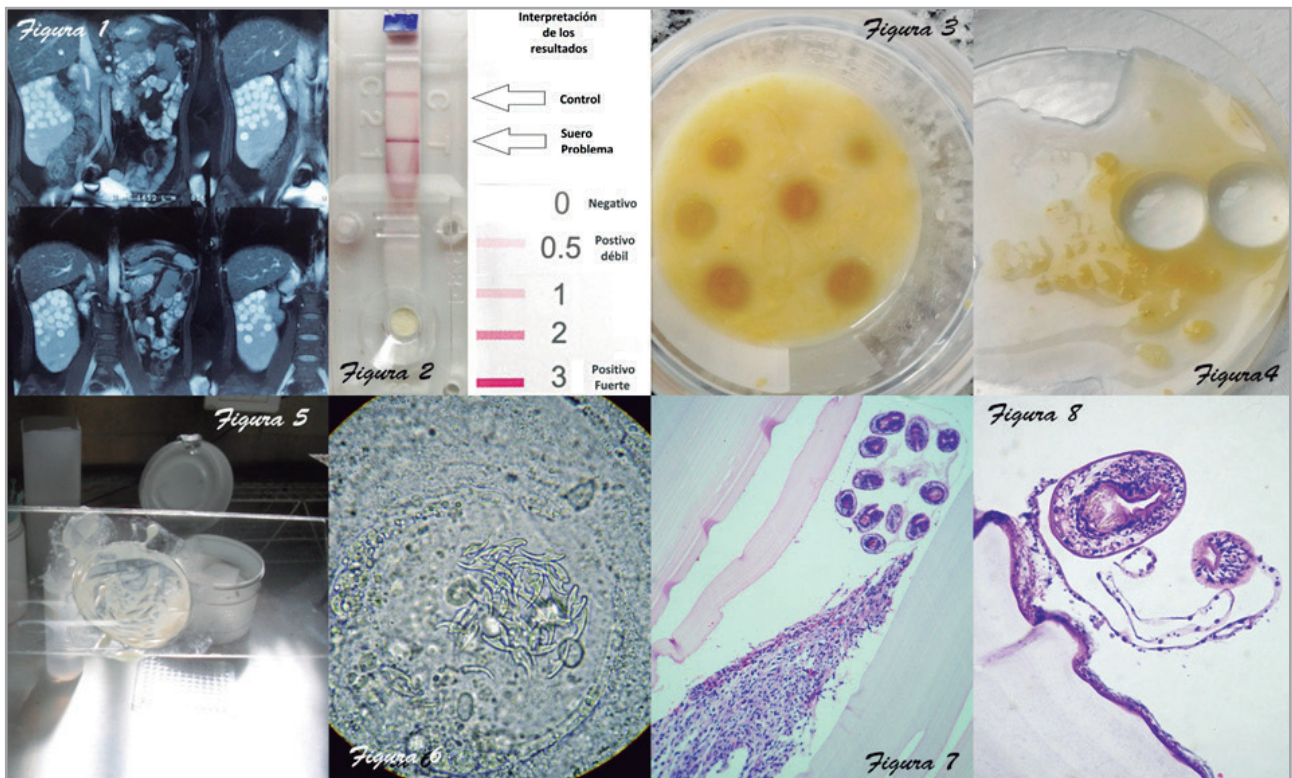
² Doctor en Medicina.

^a Instituto Nacional de Enfermedades Infecciosas (INEI). Administración Nacional de Laboratorios e Institutos de Salud (ANLIS) "Dr. Carlos G. Malbrán". Departamento de Parasitología. Ciudad Autónoma de Buenos Aires, Argentina.

^b Hospital de Enfermedades Infecciosas "Dr. Francisco Javier Muñiz", Laboratorio de Parasitología. Ciudad Autónoma de Buenos Aires, Argentina.

^c Cátedra de Micología. Facultad de Ciencias Exactas. Universidad Nacional de La Plata, La Plata, Argentina.

* Autor para correspondencia. Correo electrónico: amadeojavier.1954@gmail.com



En esta sección se publican fotografías novedosas con un fin eminentemente docente. Pertenecen a diferentes áreas de la Bioquímica Clínica y se acompañan de breves comentarios explicativos.

Se recibió en el laboratorio un material quirúrgico de un paciente con diagnóstico clínico imagenológico [tomografía axial computada (TAC)] (Fig. 1) y serológico (inmunocromatografía) (Fig. 2) de hidatidosis, en un recipiente plástico con tapa a rosca. Se trataba de un líquido amarillento, en el cual flotaban unas esferas transparentes (Fig. 3). Volcado el material en una placa de Petri, se observaron con mayor claridad los elementos esféricos (Fig. 4) que, colocados sobre un portaobjetos, presentaron un aspecto mem-

branoso hialino (Fig. 5). Parte de la muestra se envió al laboratorio de Anatomía Patológica. La microscopía en fresco (Fig. 6) de las membranas con 400X, reveló elementos redondeados compatibles con escólex invaginados de *Echinococcus granulosus*, dentro de los cuales se hallaban los ganchos de la tenia. Los cortes histopatológicos teñidos con hematoxilina-eosina revelaron la estructura de las membranas hidatídicas y escólex invaginados de *E. granulosus* (Fig. 7) (Fig. 8) con 100X y 400X, respectivamente.